

## Kamień w zabytkowej architekturze Szydłowa

Anna Fijałkowska-Mader<sup>1</sup>, Zbigniew Złonkiewicz<sup>1</sup>, Paweł Król<sup>2</sup>



A. Fijałkowska-Mader    Z. Złonkiewicz    P. Król

Stone in the historic architecture of Szydłów (S Poland). *Prz. Geol.*, 67: 736–748.

*Abstract.* The historical city of Szydłów, located in the southeastern part of the Świętokrzyskie province, has preserved its medieval urban layout. It is surrounded by stone walls, hence the town is named the “Polish Carcassonne”. There are castle remains in the western part of the city. Two monumental objects discussed in the article – defensive walls with the Krakowska Gate and the St. Władysław church were built during the reign of King Casimir the Great. The All Saints Church can be older, because it contains Romanesque features. The time of construction of the castle palace is uncertain but its design may indicate the later period of the reign of Władysław Jagiełło and Anna Andegaweńska. The church and Holy Spirit

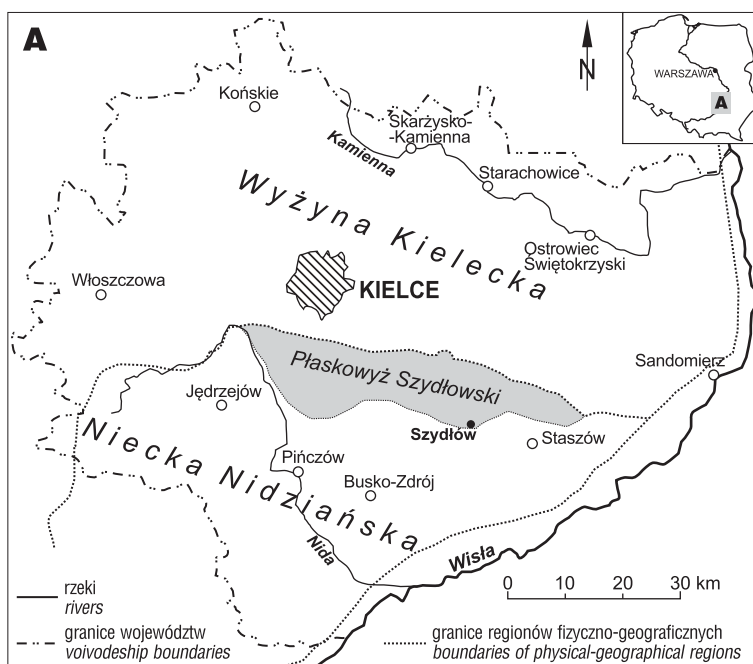
sheltered-hospital originated in the early 16<sup>th</sup> century. All these buildings were made of local stone – organogenic-detritic limestones of the Chmielnik Formation (Late Badenian–Early Sarmatian), in the stoneworkers’ language called “Szydłów stone/sandstone”. Architectural details, such as portals, window frames or cornices, were carved from fine-grained limestones, similar to the Pińczów Limestones of Badenian age. The unambiguous lithostratigraphic classification of these stones requires a more detailed petrographic research. Despite the Szydłów Limestones, common in Szydłów and its vicinity, were exploited here throughout centuries in many local quarries. It is currently impossible to indicate the local deposit in which the Pińczów Limestones were excavated. It is possible that they were transported from the Pińczów area.

**Keywords:** Szydłów, architecture, building stones

Miasto Szydłów wzniesiono w południowo-wschodniej części województwa świętokrzyskiego – na obszarze Płaskowyżu Szydłowskiego należącego do Niecki Nidziańskiej (Nowak, 1986) bądź – według alternatywnego podziału regionalnego Kondrackiego (2009) – przy południowej krawędzi Pogórza Szydłowskiego, wyodrębnionego na Wyżynie Kieleckiej (ryc. 1).

Pierwsza pisemna wzmianka o Szydłowie pochodzi z 1191 r. i dotyczy składania dziesięciny przez mieszkańców książęcego Szydłowa w kolegiacie sandomierskiej (Maszczyński, 1967). Jan Długosz (www.zrodla.historyczne.prv.pl, 2004), opisując najazd Tatarów na Polskę w 1241 r., wspomina bitwę z Tatarami *we wsi Chmielnik pod miasteczkiem Szydłów*. W połowie XIV w. król Kazimierz Wielki otoczył miasto murami obronnymi, przekształcił rezydencję królewską w zamek obronny i ufundował kościół pw. św. Władysława. W obrębie murów znajdowały się trzy bramy: Krakowska, Opatowska i Wodna (ryc. 2).

Miasto poważnie ucierpiało na skutek pożarów w latach 1565 i 1630, a dzieła zniszczenia dopełniły wojska najeźdźców podczas potopu szwedzkiego w 1655 r. (www.szydlow.pl/historia). W 1822 r. mury miejskie zostały wystawione na licytację, ale nie znalazły nabywcy. Stan upadku pogłębiła utrata praw miejskich w 1869 r. – po powstaniu styczniowym (Maszczyński, 1967; ryc. 3).



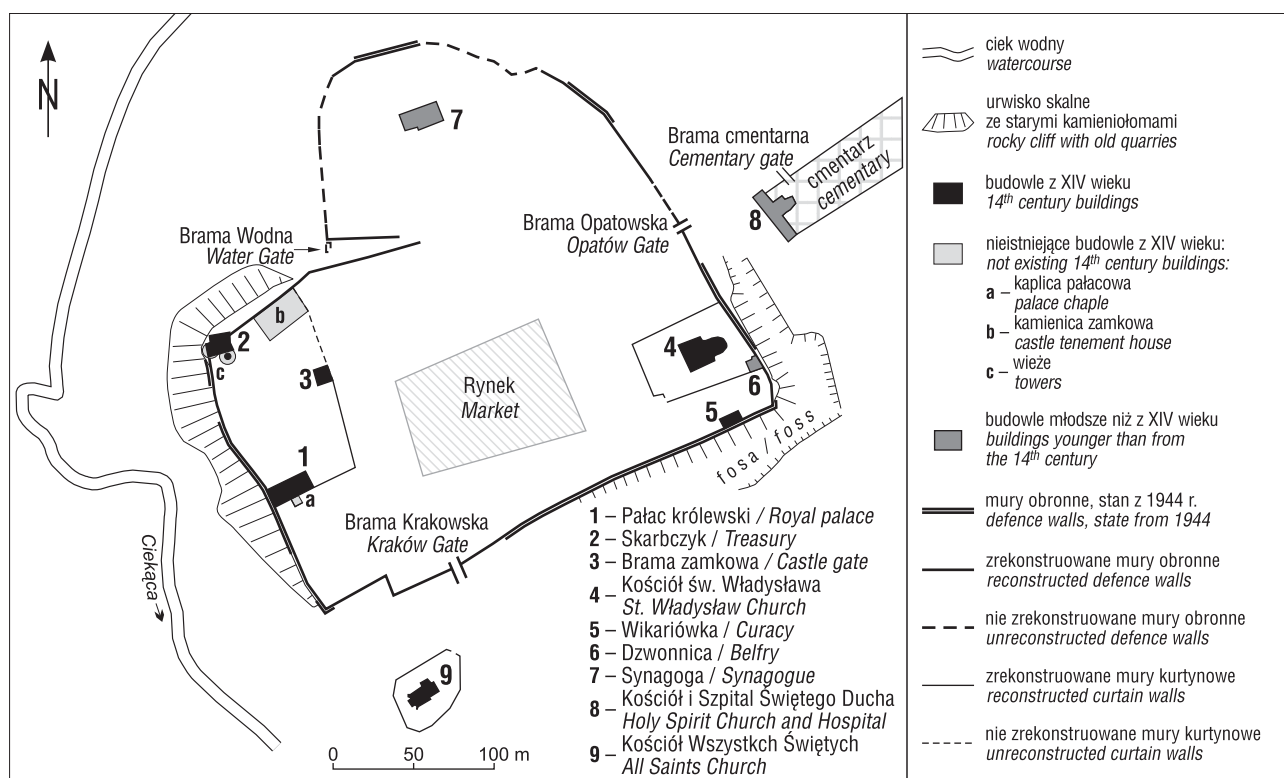
**Ryc. 1.** Lokalizacja Szydłowa na tle jednostek fizyczno-geograficznych (wg Nowaka, 1986)

**Fig. 1.** Location of Szydłów versus physical-geographical units (after Nowak, 1986)

Pierwsza wojna światowa nie przyniosła większych zniszczeń w Szydłowie. W okresie międzywojennym wykonano prace mające na celu zabezpieczenie obiektów

<sup>1</sup> Państwowy Instytut Geologiczny – Państwowy Instytut Badawczy, Oddział Świętokrzyski, ul. Zgoda 21, 25-953 Kielce; anna.mader@pgi.gov.pl; zbigniew.zlonkiewicz@pgi.gov.pl

<sup>2</sup> Dział Historii Naturalnej, Muzeum Narodowe w Kielcach, Plac Zamkowy 1, 25-010 Kielce; p.krol@mnki.pl



**Ryc. 2.** Lokalizacja zabytkowych obiektów Szydłowa (na podstawie Żukowskiego, 1947 i [www.szydlow.pl/turystyczny-plan-szydlowa](http://www.szydlow.pl/turystyczny-plan-szydlowa))  
**Fig. 2.** Location of the Szydłów monuments (after Żukowski, 1947 and [www.szydlow.pl/turystyczny-plan-szydlowa](http://www.szydlow.pl/turystyczny-plan-szydlowa))



**Ryc. 3.** *Miasto Szydłów* – drzeworyt Marcina Kasiewicza. Reprodukacja zamieszczona w czasopiśmie *Kłosa*, 1869, nr 1, s. 93. Widok od południowego zachodu z zachowanym fragmentem murów obronnych, ruinami zamku, Bramą Krakowską, kościołem św. Władysława w tle i kościołem Świętego Ducha po drugiej stronie drogi

**Fig. 3.** *Szydłów Town* – woodcut after Marcin Kasiewicz. Reproduction printed in the *Kłosa* journal, 1869 no 1, p. 93. A view from the south-west with the preserved section of the defence walls, castle ruins, Krakow Gate, St. Władysław Church in the background and the Holy Spirit Church on the other road side

zabytkowych (Szydłowski, 1927, 1930; Kołodziejski, 2011). Ostatnią, tragiczną kartą w dziejach Szydłowa był okres II wojny światowej.

Na skutek działań wojennych w latach 1944 i 1945 Szydłów uległ prawie całkowitemu zniszczeniu. Tuż po wojnie rozpoczął się proces odbudowy miasta (Żukowski, 1947, 1948; Podlewski, 1959; Kołodziejski, 2011). Jej intensyfikacja nastąpiła w latach 60. XX w. dzięki rozwojowi w pobliskim Grzybowie przemysłu siarkowego. Liczne

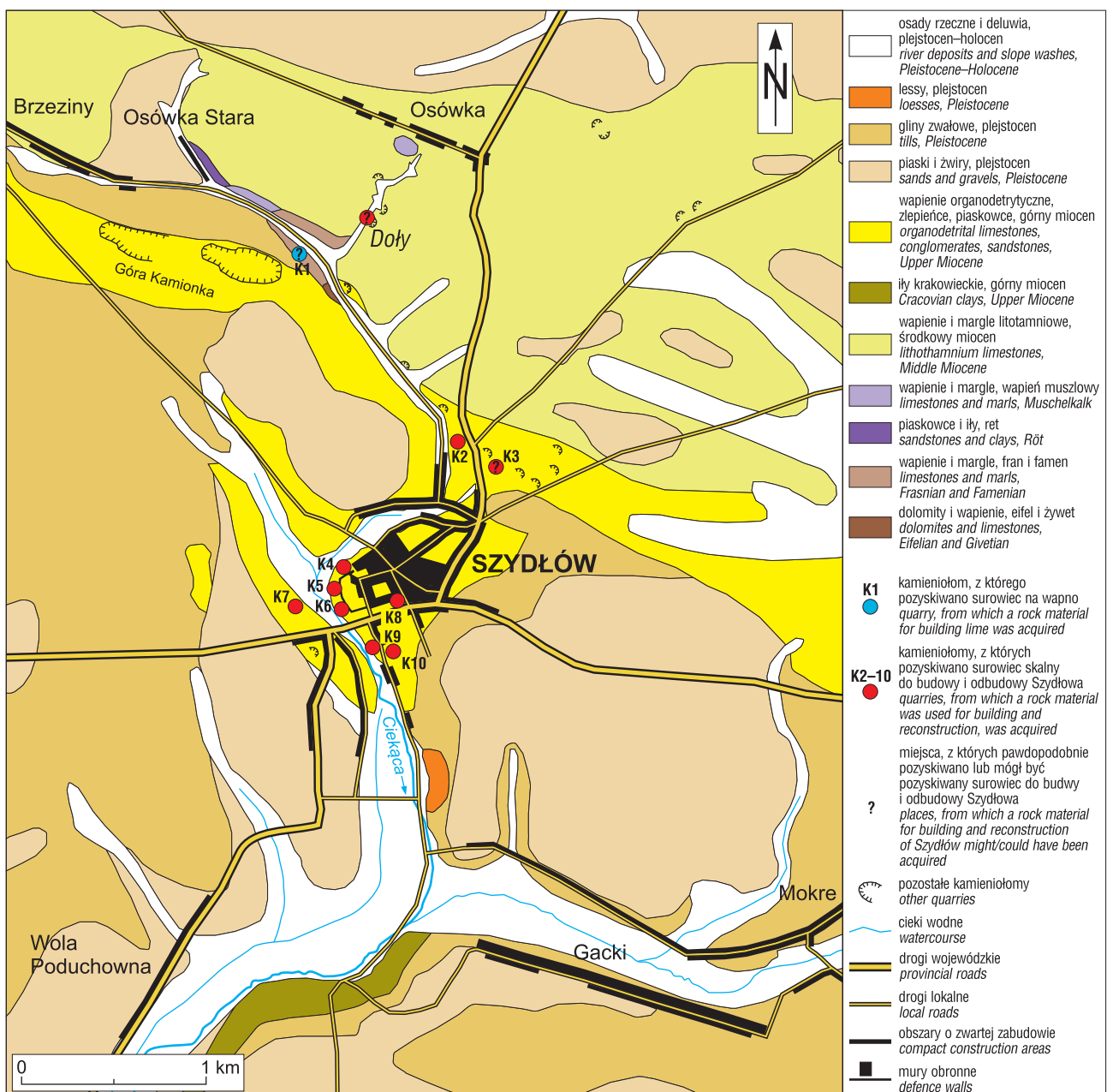
budynki odbudowano na przełomie lat 70. i 80. XX w. Ostatni etap restauracji obiektów zabytkowych rozpoczął się po przystąpieniu Polski do Unii Europejskiej w 2004 r. ([www.szydlow.pl/historia](http://www.szydlow.pl/historia)). Obecnie za zakończone można uznać prace konserwatorskie Bramy Krakowskiej, kościoła pw. św. Władysława oraz synagogi. Nadal obejmują one zamek królewski, mury miejskie i kościół pw. Świętego Ducha. Pierwszego stycznia 2019 r. Szydłów, nazywany *poliskim Carcassonne*, odzyskał prawa miejskie.

## SZKIC GEOLOGICZNY REJONU SZYDŁOWA

Płaskowyż Szydłowski budują utwory neogenu, przykrywające starsze struktury alpejskie południowego obrzeżenia Gór Świętokrzyskich: antyklinę Lisowa na północy i synklinę Piotrkowic na południu. Struktury fałdowe rozdziela uskoki Wierzbia, ponadto skrzydło północne antykliny lisowskiej przecina uskoki straszniowski (Romanek, 1982). Budowę tektoniczną dodatkowo komplikuje, przebiegający przez Szydłów, uskoki szydłowski o rozciągłości południkowej, wzdłuż którego utwory paleozoicznego podłoża – kambru i dewonu – po wschodniej stronie uskoku kontaktują ze skałami dewonu i triasu antykliny lisowskiej po stronie zachodniej (Pawłowski, 1965a, b). W jądrze antykliny lisowskiej występują silnie sfałdowane wapienie,

dolomity i podrzędnie margle środkowego oraz górnego dewonu, w skrzydle północnym zaś – piaskowce i ropy retu oraz wapienie i margle dolnego wapienia muszlowego (Czarnocki, 1938, 1950; Walczowski, 1968; Czapowski, Romanek, 1986), reprezentujące warstwy wolickie, faliste, łukowskie i warstwy z *Plagiostoma striatum* (Romanek, 1982). Odsłaniają się one w ścianach wąwozu, którym prowadzi droga z Szydłowa do Osówki Starej i Brzeziny, a ponadto na płaskowyżu w Osówce (ryc. 4). W synklinie piotrowskiej, pod miększymi osadami neogenu, nawiercono wapienie górnej jury (Czarnocki, 1950; Pawłowski, 1965a, b).

Osady neogeńskie, występujące na omawianym obszarze, są reprezentowane przez ogniwo wapieni litotamniowych badeńskiej formacji z Pińczowa, a także przez należące do dolnego sarmatu ogniwo ropy krakowieckich



Ryc. 4. Mapa geologiczna okolic Szydłowa (na podstawie Czarnockiego, 1950; Walczowskiego, 1960 i Romanka, 1979) z lokalizacją miejsc, gdzie pozyskiwano surowce do budowy i odbudowy Szydłowa

Fig. 4. Geological map of the Szydłów area with location of places, where a raw material for building and reconstruction of Szydłów was acquired (after Czarnocki, 1950; Walczowski, 1960 and Romanek, 1979)



formacji z Machowa oraz utwory formacji z Chmielnika (Jasionowski, 1995; Czapowski, 2004). Te ostatnie, w starszej literaturze opisywane jako *sarmat detrytyczny* (Czarnocki, 1950; Pawłowska, 1965; Pawłowski, 1965b), cechuje silne zróżnicowanie litologiczne. Formację z Chmielnika reprezentują zarówno skały zwięzłe: wapienie organogenezne, piaskowce, zlepieńce o spoiwie węglanowym, iłomułowce, jak i osady niezlityfikowane: żwiry, piaski i ropy (np. Radwański, 1969; Rutkowski, 1976; Czapowski, 1984; Czapowski, Studencka, 1990, 1996; Roniewicz, Wysocka, 2001; Czapowski, Gąsiewicz, 2015; Leszczyński, Nemeč, 2015). W obrębie tej formacji występują soczewy węglanowe, utworzone głównie z serpul i sinic, w starszej literaturze określane mianem raf serpulowych (Bielecka, 1967). Tradycyjnie utwory formacji z Chmielnika są dzielone na wapienie organogeniczno-detrytyczne górnego badenu i piaszczyste wapienie organodetrytyczne dolnego sarmatu (Walczowski, 1968).

Nieco odmienną litostratygrafię i wiek osadów neogeńskich proponuje Stachacz (2007). Jego zdaniem osady formacji z Pińczowa w rejonie Szydłowa są wykształcone w postaci ogniwa piasków heterosteginowych, które należą do dolnego badenu. Na granicy formacji z Pińczowa i Chmielnika badacz ten lokuje lukę stratygraficzną, obejmującą baden środkowy i część górnego, natomiast formację z Chmielnika odnosi do górnego badenu–dolnego sarmatu. W proponowanym przez niego ujęciu część piaszczystych wapieni organodetrytycznych, uznawanych dotychczas za sarmat, należy do górnego badenu.

Osady neogeńskie są przykryte glinami zwałowymi, piaskami i żwirami lodowcowymi oraz wodnolodowcowymi zlodowaceń południowo- i środkowopolskich. W południowej części Szydłowa, w zboczu doliny Ciekącej, odsłaniają się lessy podmorenowe starszego plejstocenu. Najmłodsze osady plejstoceno-holoceńskie są reprezentowane przez zróżnicowane osady rzeczne i deluwialne, wypełniające doliny czynnych i zamartych cieków wodnych, lokalnie przez piaski eoliczne (Walczowski, 1960; Romanek, 1979; ryc. 4).

#### CHARAKTERYSTYKA I WYSTĘPOWANIE SUROWCÓW SKALNYCH

Do budowy i odbudowy zabytkowych obiektów Szydłowa (ryc. 2) wykorzystywano prawie wyłącznie bloki z materiału lokalnego, reprezentowanego przez zróżnicowane wapienie organodetrytyczne formacji z Chmielnika, w języku kamieniarskim nazywane *kamieniem szydłowskim* (Fiałkowski, Zarębski, 1994). Do produkcji detali, takich jak portale drzwi czy obramowania okien, posłużono się drobnoziarnistymi wapieniami formacji z Pińczowa. W geologii są one znane jako *wapień litotamniowy*, rzadziej jako *wapień rodoidowy*, w architekturze zaś i kamieniarstwie zostały rozslawione jako *wapień pińczowski* lub po prostu *pińczak* (Studencki, 1988; Drewniak, 1994; Gagol, 2004).

Formacja z Chmielnika, z której pochodzi większość użytego materiału skalnego, obejmuje utwory o bardzo zróżnicowanej litologii: margliste wapienie mikrytowe (ryc. 5), organodetrytyczne wapienie drobno- i średnioziarniste (kalkarenity) laminowane poziomo (ryc. 6) lub przekątnie, w których dominującymi bioklastami są pokruszone i obtoczone fragmenty plech krasnorostów. Makroskopowo trudno jest odróżnić je od wapienia pińczowskiego.

Dopiero analiza mikrofaunistyczna otwornic, wśród których są reprezentowane rodzaje *Elphidium*, *Quinqueloculina* i *Anomalinoidea* (np. Łuczowska, 1964; Rutkowski, 1976), pozwala na jednoznaczne zaliczenie tych utworów do formacji z Chmielnika (por. Odrzywołka-Bieńkowska, 1975). Towarzyszą im wapienie średnio- i gruboziarniste z rodoidami i okrucami muszli mięczaków, głównie małży z rodzajów *Aequipecten*, *Pseudomussium* i *Ostrea* (Stachacz, 2007; ryc. 7, 8). W obrębie wapieni organodetrytycznych występują przeławicenia zlepieńców o spoiwie węglanowym, z otoczkami wapieni litotamniowych i serpulowych (ryc. 9) oraz ziarnami kwarcu. Ponadto w wapieniach gruboziarnistych spotyka się nieregularne bryły wapieni mikrobiałno-serpulowych (ryc. 10), o średnicy dochodzącej do 80 cm, które pochodzą z niszczenia niewielkich budowli rafowych (np. Radwański, 1973; Romanek, 2015c), utworzonych z serpul, mszywołów, krasnorostów, osiadłych otwornic i sinic (np. Liszkowski, Muchowski, 1969; Czapowski, 2004).

W pobliżu Szydłowa wapienie ziarniste należące do formacji z Chmielnika odsłaniają się w kamieniołomach zlokalizowanych w zachodniej części miasta, we wschodnim zboczu doliny Ciekącej (ryc. 4, K4-6; ryc. 11), widocznych



Ryc. 5. Marglisty wapień mikrytowy; formacja z Chmielnika, górny baden; kamieniołom wschodni na górze Kamionce  
Fig. 5. Micritic marly limestone; Chmielnik Formation Upper Badenian; eastern quarry at Hill Krzemionka



Ryc. 6. Kalkarenit krasnorostowy, drobnoziarnisty do średnioziarnistego, poziomo i skośnie laminowany w małej skali; formacja z Chmielnika, górny baden; kamieniołom wschodni na górze Kamionce  
Fig. 6. Red algal calcarenite, fine- to middle-grained, small-scale horizontally and cross-laminated; Chmielnik Formation, Upper Badenian; eastern quarry at Hill Krzemionka





**Ryc. 7.** Kalkarenit średnio- do gruboziarnistego, przechodzący w kalcyłutyt krasnorostowy z fragmentami muszli małży; formacja z Chmielnika, górny baden–dolny sarmat; kamieniołom wschodni na górze Kamionce

**Fig. 7.** Middle- to coarse-grained calcarenite passing into rhodophytic calcilitite with fragments of bivalves shells; Chmielnik Formation, Upper Badenian–Lower Sarmatian; eastern quarry at Hill Kamionka

**Ryc. 8.** Gruboziarnisty kalcyrudyt z rodoidami i okruchami muszli małży; formacja z Chmielnika, górny baden–dolny sarmat; kamieniołom wschodni na górze Kamionce

**Fig. 8.** Coarse-grained rudstone with rhodolites and fragments of bivalves shells; Chmielnik Formation, Upper Badenian–Lower Sarmatian; eastern quarry at Hill Kamionka

**Ryc. 9.** Zlepianiec węglanowy z otoczkami wapieni litotamniowych i mikrobialno-serpulowych oraz ziarnami kwarcu; formacja z Chmielnika, dolny sarmat; kamieniołom wschodni na górze Kamionce

**Fig. 9.** Carbonate conglomerate with pebbles of lithothamnium limestones and microbial-serpulid limestones and quartz grains; Chmielnik Formation, Lower Sarmatian; eastern quarry at Hill Kamionka

**Ryc. 10.** Blok wapienia mikobialno-serpulowego; formacja z Chmielnika, dolny sarmat; kamieniołom wschodni na górze Kamionce

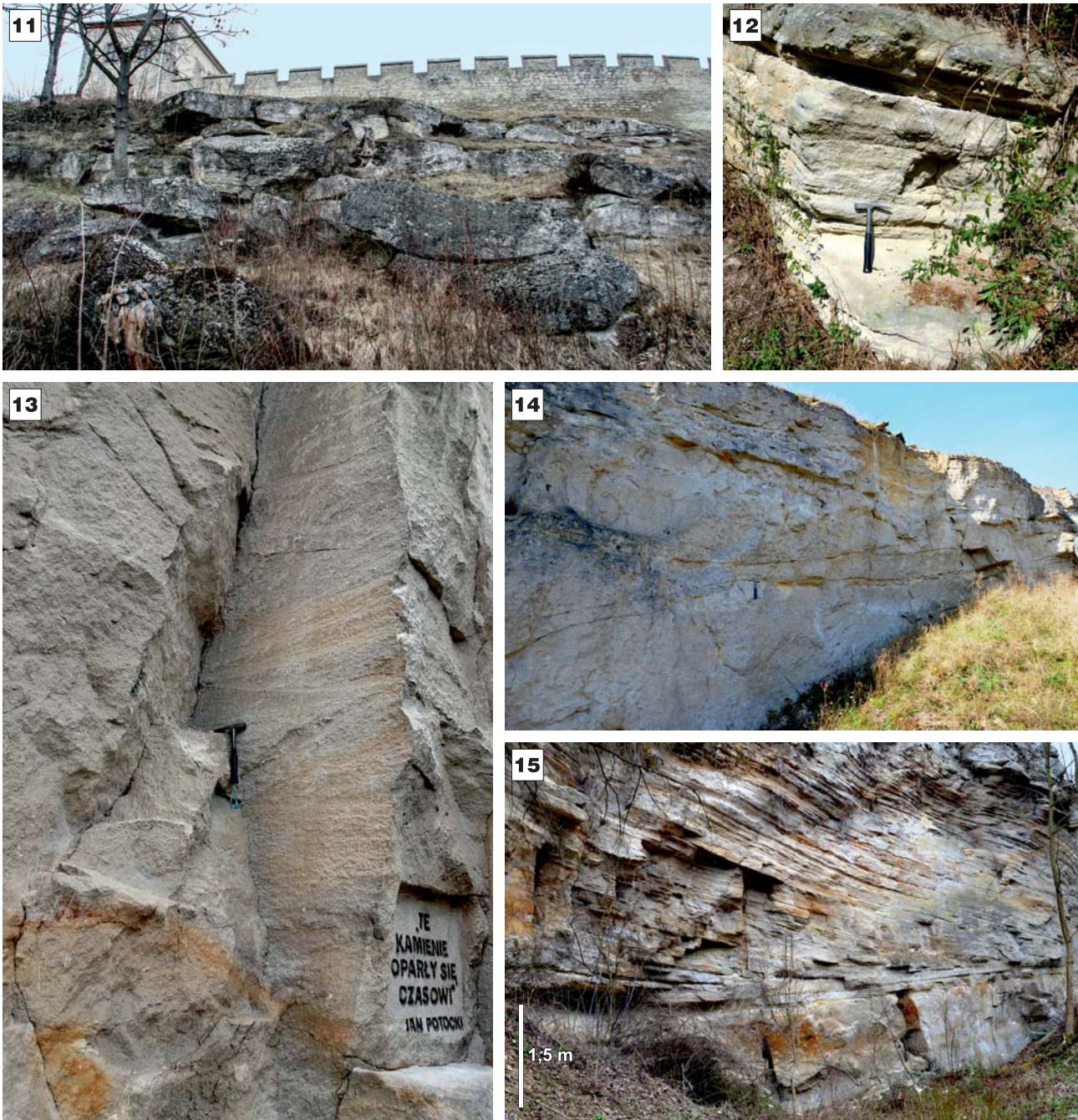
**Fig. 10.** Block of microbial-serpulid limestones; Chmielnik Formation, Lower Sarmatian; eastern quarry at Hill Kamionka

na XIX-wiecznych rycinach ([www.zamkipolskie.com/szydlow/szydlow.html](http://www.zamkipolskie.com/szydlow/szydlow.html)). Wapienie te były wydobywane już w XIV w., podczas głębienia fosy otaczającej mury miejskie od południa i częściowo do wschodu (ryc. 4, K8). Po drugiej wojnie światowej pozyskiwano je w obecnie zrehabilitowanym kamieniołomie na zachodnim brzegu doliny rzeki Ciekącej (ryc. 4, K7). Tworzą one średnio- i gruboławicowe zestawy, zapadające pod niewielkim kątem na południe (ryc. 12). Skały te były wydobywane także w północnej części Szydłowa, w dwóch kamieniołomach (ryc. 4, K2 i K3) otwartych w celu odbudowy miasta ze zniszczeń po drugiej wojnie światowej (M. Leśniak, inf. ustna), gdzie ich okresowa eksploatacja trwała do lat 70. ub. wieku (Bugajska-Pająk, 1974; Masternak, 1977). W dolnej części kamieniołomu przy ulicy Opatowskiej (K2) są widoczne wapienie gruboławicowe, warstwowane poziomo

i przekątnie (ryc. 13), przechodzące ku górze w wapienie średnioławicowe. Kąt upadu warstw wzrasta ku górze odsłonięcia. W południowej części kamieniołomu w wapieniach występują przewarstwienia piasków i zlepieńców.

Osady najbardziej zróżnicowane litologicznie odsłaniają się w dwóch dużych kamieniołomach na górze Kamionce (ryc. 4), opisywanych w literaturze również jako kamieniołom Osówka (Stachacz, 2007) lub kamieniołomy na Cabanówce (Romanek, 2015c, d). W latach 60. i 70. ub. wieku eksploatował je Zarząd Dróg Publicznych w Staszowie (Bugajska-Pająk, 1974, 1986; Romanek, 1982), a później kamień ten pozyskiwała, okresowo, okoliczna ludność. W zachodniej, najgłębszej, części wyrobiska kamieniołomu wschodniego można obserwować przejście od masywnych, oliwkowych wapieni gruboziarnistych do grubo- i średnioławicowych, szarych, poziomo laminowanych





- Ryc. 11.** Stare kamieniołomy wapienia szydłowieckiego pod murami zamku na wschodnim zboczu doliny rzeczki Ciekącej (ryc. 4, K5)  
**Fig. 11.** Old quarries of the Szydłów Limestones below the defence walls in the eastern side of the Ciekąca river valley (Fig. 4, K5)
- Ryc. 12.** Średnio- i gruboławicowe, poziomo laminowane wapienie organogeniczno-detrytyczne formacji z Chmielnika (górnym baden–dolnym sarmat) w kamieniołomie pod południowo-zachodnim narożem murów miejskich (ryc. 4, K6)  
**Fig. 12.** Middle- and thick-bedded, horizontally laminated, organogenic-detritic limestones of the Chmielnik Formation (Upper Badenian–Lower Sarmatian) in the quarry below the south-eastern corner of the defence walls (fig. 4, K6)
- Ryc. 13.** Gruboławicowe, poziomo i przekątnie warstwowane wapienie organogeniczno-detrytyczne formacji z Chmielnika, które po drugiej wojnie światowej były eksploatowane w kamieniołomie w północnej części Szydłowa, przy ulicy Opatowskiej (ryc. 4, K2)  
**Fig. 13.** Thick-bedded, horizontally- and cross-laminated, organogenic-detritic limestones of the Chmielnik Formation, extracted after World War II in the quarry, located in the northern part of Szydłów near the St. Opatów (fig. 4, K2)
- Ryc. 14.** Odslonięcie zróżnicowanych litologicznie osadów węglanowych formacji z Chmielnika – wapienia szydłowskiego (górnym baden–dolnym sarmat) – w kamieniołomie wschodnim na górze Kamionce  
**Fig. 14.** Outcrop of the lithologically diverse carbonate deposits of the Chmielnik Beds – Szydłów Limestones (Upper Badenian–Lower Sarmatian) – in the eastern quarry at Hill Kamionka
- Ryc. 15.** Kontakt organogeniczno-detrytycznych wapieni gruboławicowych, poziomo warstwowanych z cienkolaminowanymi, warstwowanymi przekątnie w dużej skali, formacja z Chmielnika (górnym baden–dolnym sarmat), Szydłów, kamieniołom poniżej ulicy Kazimierza Wielkiego (ryc. 4, K9)  
**Fig. 15.** Contact of organogenic-detritic, thick-bedded limestones with the thin-bedded, giant-scale cross-lamination, Chmielnik Formations (Upper Badenian–Lower Sarmatian), Szydłów, quarry below Street Kazimierz Wielki (fig. 4, K9)



kalkarenitów, rozciętych powierzchnią rozmycia w górnej części ściany (ryc. 14). Na niej spoczywa 10-centymetrowej miąższości warstwa zlepieńców litotamniowych, przykryta ławicą o miąższości 35 cm, utworzoną przez gruboziarniste kalcyrudyty, skośnie warstwowane kalkarenitami, w których tkwią bloki wapieni mikrobialno-serpulowych i otoczaki wapieni syndosmyowych. Powyżej jest obecna cienka warstwa drobnoziarnistych kalkarenitów i miąższy, półtorametrowy kompleks zlepieńców litotamniowych oraz kalcyrudytów krasnorostowych, warstwowanych poziomo i przekątnie. W tych ostatnich spotyka się nieregularnie rozmieszczone muszle małży oraz otoczaki masywnych wapieni serpulowo-sinicowych (Stachacz, 2007; Romanek, 2015c). Skały te odsłaniają się także w północnej części wyrobiska.

W kamieniołomie zachodnim na górze Kamionce dominują słabozwięzłe, rozsypliwie wapienie ziarniste, cienko- i średnioławicowe, laminowane poziomo i przekątnie. W dolnej partii wschodniej części odsłonięcia spotyka się nieobtoczone bryły masywnych wapieni serpulowo-sinicowych, które miejscami tworzą nieregularną ławicę (Romanek, 2015d).

Interesującą odmianę litofacjalną stanowią kalkarenity z fauną ślimaków (*Granulolabium*, *Turitella*) i cienkoskopowych małży *Corbula*, ułożonych zgodnie z laminacją (Stachacz, 2007). Odsłaniają się one w południowej części Szydłowa, na brzegu doliny Ciekącej (Romanek, 2015e; ryc. 4, K9). W ścianie starego kamieniołomu, ciągnącego się poniżej ulicy Kazimierza Wielkiego, są widoczne wielkoskalowe, skośnie warstwowane zespoły o miąższości od kilku do kilkunastu metrów, złożone z cienkich warstw wapieni o stałym kierunku nachylenia uławicenia ku południowi i kącie nachylenia zbliżonym do kąta naturalnego zsypania (ryc. 15). W wyższej części odsłonięcia są widoczne synsedymacyjne zafałdowania, związane ze spelzowaniem słabo skonsolidowanego osadu po nachylnym dnie morskim (Rutkowski, 1976; Łaptaś, 1992). Skały te były wydobywane także w niewielkim, zreultywowanym kamieniołomie po wschodniej stronie ulicy Kazimierza Wielkiego (ryc. 4, K10).

Ponadto gruboławicowe, poziomo warstwowane wapienie organogeniczne-detrytyczne, ku górze przechodzące w cienkolaminowane, wydobywano w nieczynnym kamieniołomie we wschodniej części Szydłowa, niedaleko ulicy Rakowskiej (ryc. 4, K3).

Dominującym składnikiem wapieni pińczowskich, w architekturze Szydłowa wykorzystywanych do wykonania detali architektonicznych, są okruchy wapiennych plech glonów morskich z rodzaju *Sporolithon* i *Lithothamnium*, należących do gromady krasnorostów (*Rhodophyta*), którym skała zawdzięcza swe nazwy geologiczne. W materiale ziarnistym, spojonym cementem węglanowym, występują także otwornice (amfisteginy, heterosteginy; Łuczowska, 1964) i mszywioly, a w odmianie o nieco grubszym ziarnie – fragmenty małży, ramienionogów i jeżowców. Na podstawie dominującego materiału ziarnistego Rydzewski (1975) wyróżnił 8 odmian mikrofacjalnych wapieni litotamniowych: litotamniową, litotamniowo-amfisteginową, litotamniowo-heterosteginową, mszywiolową, mszywiolowo-heterosteginową, drobnootwornicowo-serpulową i drobnootwornicową. Lokalnie w profilu formacji z Pińczowa spotyka się także słabo zwięzłe odmiany wapieni, określane jako piaski heterosteginowe, reprezen-

tujące fację glonowo-amfisteginowo/heterosteginową (Studencki, 1999).

Autorzy niniejszego artykułu nie znaleźli w rejonie Szydłowa kamieniołomu, w którym był eksploatowany wapień pińczowski, choć wschodnie podobnych wapieni są znane – także w pobliżu miasta. Wkładki i bloki wapieni litotamniowych występują w piaskach heterosteginowych w odsłonięciu przy drodze z Szydłowa do Osówki Starej, na północny zachód od ostatnich zabudowań Szydłowa (Stachacz, 2007). Niewielkie odsłonięcie tych wapieni znajdowało się w tzw. Dołach (ryc. 4), we wschodnim zboczu wąwozu ciągnącego się w stronę Osówki. Wapienie te są spotykane również jako rumosz w przemytym materiale morenowym, wypełniającym wąwóz (Romanek, 2015b). Ponadto głązy wapienia litotamniowego można spotkać na polach między Szydłowem a Osówką.

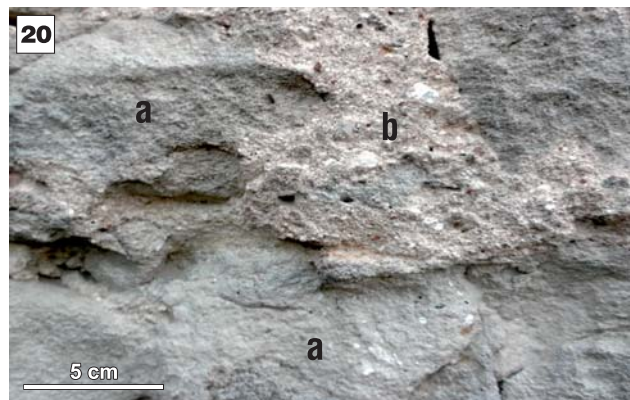
Grubo- i średnioławicowe wapienie franu z fauną stromatoporoidów, koralii, ramienionogów i małży (Romanek, 1982, 2015a) były wydobywane w łomie na południowym zboczu wąwozu drogi z Szydłowa do Osówki Starej (ryc. 4, K1). Czas powstania tego łomu jest trudny do ustalenia. Zdaniem J. Fijałkowskiego (Fijałkowski, Zarębski, 1994) wapieni dewońskich, pochodzących z tego właśnie kamieniołomu, użyto do wypalania wapna, z którego sporządzano zaprawę murarską, już na etapie budowy XIV-wiecznego zamku. Natomiast według Bugajskiej-Pająk (1986) kamieniołom w Osówce Starej założyli Niemcy w czasie drugiej wojny światowej, w celu pozyskania kamienia na drogę z Szydłowa do Rakowa.

## WYKORZYSTANIE KAMIENIA W ZABYTKOWYCH BUDOWLACH

Obserwacjami petroarcheologicznymi objęto następujące obiekty zabytkowe Szydłowa: mury obronne z Bramą Krakowską, pałac zamkowy, kościoły: św. Władysława, Wszystkich Świętych i Świętego Ducha wraz ze szpitalem, ponadto wybrane płyty i pomniki nagrobne.

### Mury obronne

Mury obronne, otaczające zamek i przylegające do niego miasto, zostały ufundowane w drugiej połowie XIV w. przez Kazimierza Wielkiego. Pierwotna ich długość wynosiła 1060 m, a grubość u podstawy sięgała 1,8 m (Widawski, 1973). Mur kurtynowy, oddzielający zamek od miasta, był cieńszy – jego grubość sięgała do 1 m. Mury zewnętrzne wzmocniono nieregularnie rozmieszczonymi przyporami i zwieńczono blankami z prostokątnymi otworami strzelniczymi (ryc. 16). Krenelaż, osłaniający chodnik dla straży i łączący mury zamkowe z bramami miejskimi, powstał prawdopodobnie nieco później, co sugeruje rekonstrukcja Andrzejewskiego i Kajzera (2002, il. 5), która przedstawia pierwotny zamek z ok. 1400 r., o przeznaczeniu militarno-administracyjnym. W północno-zachodnim narożniku muru zamkowego zachowały się resztki dwóch cylindrycznych wież, usytuowanych blisko siebie, o zewnętrznej średnicy wynoszącej ponad 10 m, częściowo wbudowanych w Skarbczyk (ryc. 2/c) – tj. budynek z XVI w., zbudowany w miejscu dawnej baszty obronnej – które mogły być pozostałością po pierwotnej bramie zamkowej (Kajzer, 2001, 2011). W murach miejskich znajdowały się dwie bramy kamienne – od południa Krakowska i od wschodu Opa-



**Ryc. 16.** Fragment pierwotnych murów obronnych, zachowanych w zachodniej części zamku, zbudowanych z wapieni organogeniczno-detrytycznych formacji z Chmielnika. W szczytowej części muru są widoczne pozostałości blanek z otworami strzelniczymi, których obramowania wykonano z drobnziarnistej odmiany wapieni krasnorostowych formacji z Chmielnika lub z Pińczowa

**Fig. 16.** Section of the original defence wall, preserved in the western part of the castle, built of the organogenic-detritic limestones of the Chmielnik Formation. In the apical part of the wall the remains of the battlements are visible with embrasures which frames were made of red fine-grained algal limestones of the Chmielnik or Pińczów Formations

**Ryc. 17.** Fragment muru obronnego w południowo-zachodnim narożniku miasta. Jako budulec wykorzystano wapień organogeniczno-detrytyczny formacji z Chmielnika (a) i podrzędnie cegłę (b). Pierwotna spoina gliniana z domieszką piasku ?heterosteginowego (c) i późniejsza spoina gliniana (d), zastosowana podczas prac rekonstrukcyjno-konserwatorskich

**Fig. 17.** Section of the defence wall in the southeastern corner. Organogenic-detritic limestone of the Chmielnik Formation was used as (a) a building material and (b) a subordinate brick. The primary clayey joint with an addition of ?Heterostegina sands (c) later earthen joint (d) used during reconstruction-conservation works

**Ryc. 18.** Brama Krakowska, częściowo zrekonstruowana i poddana renowacji w latach 1929–1936 i 1946 r. (Łoziński, Wolf, 1957)

**Fig. 18.** Kraków Gate, partly reconstructed and renovated during 1929–1930 and 1946 (Łoziński, Wolf, 1957)

**Ryc. 19.** Fragment wewnętrznej ściany Bramy Krakowskiej w Szydłowie, zrekonstruowany po drugiej wojnie światowej, w którym jako budulec zastosowano wapień organogeniczno-detrytyczny formacji z Chmielnika, a jako spoinę – zaprawę cementową

**Fig. 19.** Section of the Kraków Gate internal wall in Szydłów, reconstructed after World War II, where the organogenic-detritic limestones of the Chmielnik Formation were used as a building material and a cement mortar

**Ryc. 20.** Oryginalny fragment wschodniej elewacji pałacu zamkowego. Jako budulec wykorzystano wapień organogeniczno-detrytyczny formacji z Chmielnika (a), który spojono zaprawą wapienną z domieszką piasku ?heterosteginowego (b)

**Fig. 20.** Original section of the eastern elevation of the castle palace. Organogenic-detritic limestone of the Chmielnik Formation was used as: a) a building material and b) a lime mortar with an admixture of ?Heterostegina sands



towska – oraz od północnego zachodu drewniana, zwana Wodną, którą należałoby określić raczej mianem furty w wąwozie (Kołodziejski, 2011).

Mury zamkowe zbudowano ze zgrubnie łamanego, lokalnego wapienia organogeniczno-detrytycznego, wydobywanego w kamieniołomach usytuowanych we wschodnim zboczu doliny Ciekącej (Fijałkowska, Fijałkowska, 1994; Fijałkowski, Zarebski, 1994, 1997; ryc. 4, K4-K6, K9; ryc. 11, 12, 15) oraz pozyskiwanego podczas kopania fosy u podnóża murów broniących miasta od południowego wschodu i południa (ryc. 4, K8). Bloki w murach zamkowych spojono piaszczystą zaprawą wapienną, w murach miejskich zaś również zaprawą glinianą (ryc. 17). W obramieniach otworów strzelniczych i blankach zastosowano wapienie drobnoziarniste.

W XVI w. Szydłów nękały liczne pożary. Uszkodzone przez nie mury miasta zostały wyremontowane na zlecenie króla Zygmunta Augusta w 1565 r. Poważnie ucierpiały one kolejny raz w okresie potopu szwedzkiego w XVII w. Zrezygnowano z ich ponownej naprawy i w 1822 r., wraz z ruinami zamku, wystawiono na licytację jako złożę kamienia wapiennego (Chlebowski, 1892). Ich ówczesny stan jest widoczny na XIX-wiecznych rycinach Szydłowa (Stronczyński, 1850; ryc. 3). Szczęśliwie bardziej opłacalne było pozyskiwanie kamienia z lokalnych łomów, dzięki czemu duża część murów ocalała. Rozebrano natomiast Bramę Opatowską (Maszczyński, 1967). W latach 20. XX w. zabezpieczono niewielkie odcinki murów w pobliżu kościoła św. Władysława oraz przy Skarbczyku. Brakujące w blankach płyty kamienne uzupełniono, korzystając z wapienia łamanego w kamieniołomie w południowej części Szydłowa, na Krakowskim Przedmieściu (Kołodziejski, 2011; ryc. 4, K9).

W czasie drugiej wojny światowej walki prowadzone na terenie miasta spowodowały kolejne zniszczenia murów. Na planie Szydłowa z 1945 r., zamieszczonym w pracy Podlewskiego (1959), widnieją zachowane odcinki murów zamkowych, łączące pałac zamkowy ze Skarbczykiem, a ponadto najdłuższy odcinek murów miejskich, biegnący od Bramy Krakowskiej po nieistniejącą Bramę Opatowską, oraz krótki fragment murów przylegający od zachodu do Bramy Krakowskiej i ponad 100-metrowy odcinek za synagogą, w północnej części miasta. Łączna długość zachowanych murów wynosiła 680 m. Już w 1946 r. przystąpiono do odbudowy murów na odcinku zachodnim i południowym, przy Bramie Krakowskiej (Kołodziejski, 2011). Kamień pozyskiwano z kamieniołomów na Krakowskim Przedmieściu (ryc. 4, K9, K10; ryc. 15), przy ulicy Kazimierza Wielkiego oraz z wyrobisk w północnej części miasta, nowo otwartych dla potrzeb odbudowy, przy ulicach Opatowskiej (ryc. 4, K2, ryc. 13) i Rakowskiej (ryc. 4, K3).

Kolejny etap odbudowy, w ramach tzw. Akcji Szydłów, przypadł na drugą połowę lat 70. ubiegłego wieku i był związany z jubileuszem 650-lecia nadania Szydłowowi praw miejskich. Przeprowadzono wówczas remont południowo-wschodniej części murów miejskich przy nieistniejącej obecnie Wikarówce (Kołodziejski, 2011; ryc. 2/5). W 2011 r. odbudowano blanki wieńczące mur południowy od strony ulicy Kieleckiej (Urząd Gminy Szydłów, 2018), a na początku 2019 r. zrekonstruowano mury w północnej części miasta, za synagogą. Kamień do tych prac pochodził ze złóż wapieni organodetrytycznych formacji z Chmielni-

ka, zlokalizowanych w Smerdynie, na północny wschód od Staszowa.

Brama Krakowska (ryc. 18) stosunkowo najmniej ucierpiała na przestrzeni dziejów. Pierwotnie gotycka (2 poł. XIV w.), z ostrołukowym otworem wjazdowym w przyziemi, w okresie renesansu (pocz. XVI w.) została wzbogacona o attykę i koliste wieżyczki (Maszczyński, 1967). W zachodniej części bramy kamienne schody prowadzą do chodnika straży w murach obronnych. Brama ta jest zbudowana z lokalnego wapienia organogeniczno-detrytycznego formacji z Chmielnika.

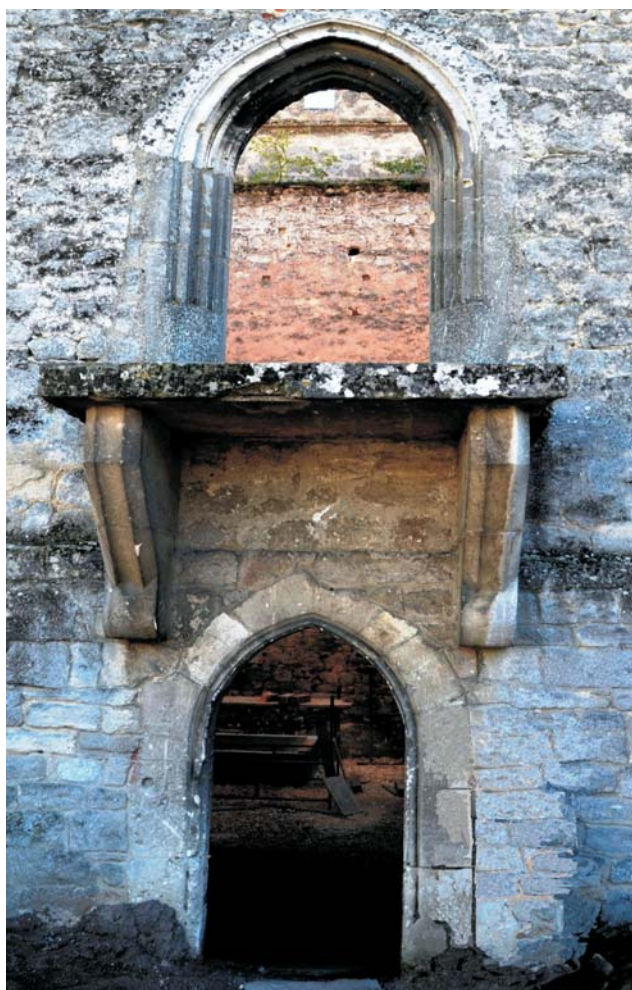
Odbudowa i renowacja bramy, tak jak i murów, odbywała się w kilku etapach w okresie międzywojennym (1929–1936) oraz po drugiej wojnie światowej – w 1946 r. (Kołodziejski, 2011) i w 2011 r. Prawdopodobnie z tego ostatniego okresu pochodzą uzupełnienia ubytków w wewnętrznych ścianach bramy, wykonane z wykorzystaniem gruboziarnistych wapieni detrytycznych i zaprawy cementowej (ryc. 19).

### Pałac zamkowy

Budynek pałacu zamkowego, nazywany także Salą Rycerską (Żukowski, 1947; Jurkowski, 2017), znajduje się w południowo-zachodnim narożu dziedzińca zamkowego, gdzie zachodnią ścianą przylega do murów obronnych (ryc. 2/1). Dwukondygnacyjną budowlę na planie prostokąta, w części południowej z kwadratowym ryzalitem, w którym mogła się mieścić kaplica zamkowa, ufundował najprawdopodobniej Ludwik Węgierski w drugiej połowie XIV w. (Kajzer, 2005, 2011). Zdaniem Olszackiego i in. (2012) pałac zamkowy jest młodszy, został ufundowany przez Jadwigę Andegaweńską i Władysława Jagiełłę ok. 1400 r. Mają o tym świadczyć zarówno prostokątne, świecokie okna, w środkowoeuropejskim budownictwie dworskim stosowane od połowy XIV w., jak i rozbudowana część mieszkalna. Ściany pałacu, grubości ok. 1 m, zbudowano z różnoziarnistego, organogeniczno-detrytycznego wapienia formacji z Chmielnika – takiego samego, jakiego użyto do postawienia murów obronnych. Jako spoiwo wykorzystano zaprawę wapienną z domieszką piasku z okruskami wapienia (ryc. 20). Kamień pozyskiwano w lokalnych kamieniołomach (Fijałkowska, Fijałkowska, 1994; Fijałkowski, Zarebski, 1994, 1997).

Pałac wyróżniał się bogatym wystrojem kamieniarskim, widocznym w ostrołukowych, profilowanych portalach (ryc. 21) i obramieniach prostokątnych, czwórdzielnych okien. Budynek pałacu, kilkakrotnie niszczone przez pożary i działania wojenne, pozostał ruiną od 1789 r. (Chlebowski, 1892; Szydłowski, 1927). W związku z przekształceniem budynku w stajnię i wozownię na początku XIX w., usunięto gotycki, profilowany portal w przyziemiu i powiększono otwór wejściowy. Podczas późniejszych prac przywrócono pierwotną szerokość wejścia, okładając je prostym ociosem. Dwa profilowane portale, zachowane na piętrze, zostały odnowione podczas prac konserwatorskich w 1946 r. (Maszczyński, 1967). Z tego samego roku pochodzi płyta balkonowa wsparta na konsolach (ryc. 21; Łoziński, Wolf, 1957).

Zarówno portale, jak i płyta balkonowa oraz konsole zostały wykonane z wapienia o ziarnie drobniejszym niż w materiale użytym do budowy ścian. Także kamień w bocznych ociosach okien jest bardziej drobnoziarnisty i ma jaśniejszą barwę od tworzącego ścianę.



**Ryc. 21.** Dwa ostrołukowe portale – oryginalny, odnowiony w przyziemiu, i wychodzący na balkon (zrekonstruowany w 1946 r.) oraz konsole podtrzymujące podstawę balkonową w północnej elewacji pałacu zamkowego, wykonane z droбноziarnistej odmiany wapieni krasnorostowych formacji z Chmielnika lub z Pińczowa

**Fig. 21.** Two ogival portals – the original one, renovated in ground floor and reconstructed in 1946 leading to the balcony and the consoles supporting the balcony basis in the northern elevation of the castle palace, made of red fine-grained algal limestones of the Chmielnik or Pińczów Formations

Zastosowano tu wapień litotamniowy formacji z Pińczowa lub droбноziarnistą odmianę wapienia formacji z Chmielnika. Wskazanie pochodzenia tego surowca nie jest jednoznaczne i wymagałoby petrograficznych obserwacji szlifów mikroskopowych (Weber-Kozińska, 1958; Łuczowska, 1964). Obecnie wapień pińczowski nie odsłania się w kamieniołomach w okolicy Szydłowa, ale nie można wykluczyć, że dawniej był eksploatowany w bocznym wąwozie doliny Ciekącej, ciągnącym się na północ w stronę Osówki, w tzw. Dołach. Możliwy wydaje się też transport tego wapienia z rejonu Pińczowa, gdzie był on wydobywany już od X w. (Weber-Kozińska, 1963; Oterman, 1980; Walendowski, 2008).

Swój obecny wygląd pałac „zawdzięcza” odbudowie w latach 1945–1947, dokonanej według projektu J. Żukowskiego. Wprowadziła ona elementy nieobecne w pierwotnej budowli, tj. małe otwory w szczytowych partiach ścian oraz krenelaż wieńczący całość (Kajzer, 2011; Kołodziej-ski, 2011).

### Kościół parafialny pod wezwaniem Świętego Władysława

Gotycki kościół z 1355 r. został ufundowany przez Kazimierza Wielkiego jako pokutny za zgładzenie księdza Baryczki (Chlebowski, 1892). Wzniesiono go przy południowo-wschodnim narożniku murów miejskich (ryc. 2/4) i – zgodnie z ówczesnymi wymogami – zorientowano ołtarzem ku wschodowi. Jest to ceglana budowla z elementami kamiennymi, obejmującymi: portale, obramienia okienne i laskowania w kształcie krzyża, gzymsy (ryc. 22) oraz cokoły przypór, widoczne na zewnątrz. Wewnętrzną konstrukcję kościoła, wraz ze sklepieniem wspartym na dwu filarach, ozdobiono żebrami, wspornikami i zwornikami, wykonanymi z wapienia pińczowskiego (ryc. 23 – patrz str. 776). Do budowy ścian zakrystii użyto zarówno cegły gotyckiej, jak i kamienia szydłowskiego. Pierwotnie kościół był pokryty dachówką. Z okresu późniejszego (1630 r.) pochodzi późnorenesansowy, szerokołukowy portal, wstawiony w pierwotny, ostrołukowy, profilowany portal w głównym, zachodnim wejściu do kościoła (ryc. 22, 24 – patrz str. 776). Drugi późnorenesansowy, prostokątny portal (ryc. 25 – patrz str. 776) prowadzi z prezbiterium do zakrystii, w której z gotyckiego wystroju zachowały się wsporniki sklepienne, ornamentowane motywami roślinnymi, oraz



**Ryc. 22.** Zachodnia frontowa elewacja kościoła św. Władysława, zrekonstruowana w latach 1946–1947. Portal główny i laskowania okien w kształcie krzyża wykonane z wapienia pińczowskiego, ciosy obramień okiennych, cokoły pilastrów i gzymsy – z piaskowca szydłowskiego (Żukowski, 1948)

**Fig. 22.** Western front elevation of the St. Władysław Church, reconstructed during 1946–1947. The central portal and the cross-shaped windows gracing made of the Pińczów limestone, blows of the window frames, pilaster basis and cornices made of the Szydłów limestone (Żukowski, 1948)



maswerki zamykające okna (Żukowski, 1947; Łoziński, Wolf, 1957).

W wyniku późniejszych prac od północy dobudowano kaplicę, zwaną Literacka, oraz dwie kruchty (od południa i zachodu), usuwając profilowania portalu gotyckiego i zamurując okna boczne w elewacji zachodniej (Szydłowski, 1927; Żukowski, 1947). Podczas II wojny światowej budynek kościoła najbardziej ucierpiał w 1944 r. Jego odbudowę, połączoną z całkowitym usunięciem krucht i restauracją trójkątnego szczytu zachodniej elewacji, przeprowadzono w latach 1945–1948. Usunięcie krucht odsłoniło oba portale – zachodni, bardziej zniszczony, pozbawiony profilowań pionowych i ich głowic, oraz południowy, w miarę dobrze zachowany, z kapitelami o motywach kwiatowych (Łoziński, Wolf, 1957), nawiązujących do róży z herbu Poraj. Piąty płatek każdej z róż zastąpiono małpią główką (ryc. 26 – patrz str. 776). Według Żukowskiego (1947) glify okien, gzymsy i cokoły wykonano z lokalnego piaskowca, portale zaś z piaskowca pińczowskiego. Późniejsze przybudówki, z których ocalała jedynie Kaplica Literacka, zbudowano z miejscowego kamienia łamanego. Detale architektoniczne, z wyjątkiem profilowanych portali ostrołukowych, wykonano z żółtawoochrowego, drobnoziarnistego wapienia organodetrytycznego – kalkarenitu formacji z Chmielnika, który odsłania się w kamieniołomie pod ulicą Kazimierza Wielkiego (ryc. 4, K9). Materiał ten stosowano do wykonywania detali zarówno w XIV w., jak podczas późniejszych renowacji i przebudów, aż do lat 1945–1948. Przykładem jest choćby późnorennesansowy portal w zachodniej elewacji kościoła. Dalszych badań, podobnie jak w przypadku pałacu zamkowego, wymaga określenie pochodzenia jasnego, drobnoziarnistego wapienia, makroskopowo przypominającego pińczowski.

Nastawę ołtarza głównego, w formie dwóch modlących się aniołów, oraz predella wyrzeźbiono po II wojnie światowej z wapienia pińczowskiego. Kamienną posadzkę kościoła, wykonaną po II wojnie światowej, stanowią płyty z dewońskiego wapienia bolechowickiego oraz górnourajskiego, morawickiego. Na starym cmentarzu przykościelnym, na wysokiej kolumnie, postawiono barokową figurę św. Barbary z 1677 r. (ryc. 27 – patrz str. 776; Wiśniewski, 1929).

### Kościół Wszystkich Świętych

Na wzgórzu poza murami miejskimi stoi jednonawowy, gotycki kościółek (ryc. 2/9), XIV-wieczny, a być może starszy (por. Wiśniewski, 1929; Kołodziejcki, 2002), zorientowany ołtarzem ku wschodowi, z nieco młodszą zakrystią, dobudowaną do północnej ściany prezbiterium. Był on kilkakrotnie restaurowany po pożarach, jakie wybuchły w latach 1565, 1630 i 1742. Kolejne większe prace konserwatorskie wykonano w 1836 r. Po ostatnich zniszczeniach wojennych został odbudowany i zabezpieczony w latach 1945–1949 (Łoziński, Wolf, 1957). Świątynia ta jest zbudowana z lokalnego, różnoziarnistego wapienia organodetrytycznego, takiego samego jak mury miejskie Szydłowa. Uwagę zwracają dwa ostrołukowe portale: południowy, profilowany (ryc. 28), i zachodni z profilowaną arkadą, osłonięty późniejszym przedsionkiem (Łoziński, Wolf, 1957). Portale wykonano z jasnego, drobnoziarnistego wapienia detrytycznego typu pińczowskiego. Z tego samego surowca wyrzeźbiono ostrołukowy portal prowadzący z prezbiterium do zakrystii.



Ryc. 28. Ostrołukowy portal w południowej elewacji kościoła Wszystkich Świętych, wykonany z wapienia pińczowskiego  
Fig. 28. Ogival portal in the southern elevation of the All Saints Church made of the Pińczów limestone

Posadzka kamienna, XVII-wieczna, została ułożona z płyt czerwonego i kremowego piaskowca. Najbliższe kamieniołomy czerwonego, dolnotriasowego piaskowca znajdowały się w rejonie Czerwonej Góry i Stryczewic, natomiast jasny, dolnojurański piaskowiec mógł pochodzić z kamieniołomu w Ptkanowie k. Opatowa.

Na północnej ścianie kościoła znajduje się silnie zwietrzała tablica z wapienia bolechowickiego, najprawdopodobniej XVII-wieczna, z epitafium poświęconym szlachcicowi Albertowi Baiorowi.

Kościół został otoczony kamiennym murem z grubo ciosanych bloków wapienia organodetrytycznego formacji z Chmielnika. Postawiono go już po odebraniu Szydłowski praw miejskich, o czym świadczy brak tego muru na rycinie z 1869 r. (por. Kasiewicz, 1869; ryc. 3).

### Ruiny kościoła pod wezwaniem Świętego Ducha i przytułku-szpitała

Ruiny kościoła pod wezwaniem Świętego Ducha znajdują się we wschodniej części Szydłowa, przy ulicy Staszowskiej, na cmentarzu parafialnym poza murami miejskimi (ryc. 2/8). Kościół wzniesiono w 1529 r. jako jednonawową, orientowaną budowlę, z zakrystią przylegającą od północy (Myczkowski, 2006). Do budowy świątyni wykorzystano lokalny surowiec – grubociosany wapień organodetrytyczny formacji z Chmielnika, spojony zaprawą gliniano-piaszczystą. Z takiego samego materiału zbudowano gmach przytułku. W ścianach naw kościoła zachowały się frag-



**Ryc. 29.** Ruiny kościoła Świętego Ducha – elewacja południowa z zachowanym portalem bocznym, wykonanym z wapienia pińczowskiego, pionowe elementy obramień okiennych i gzymsy przypory wyrzeźbione z tego samego materiału, ściany zbudowane z wapienia szydlowskiego, spojonego zaprawą glinianą

**Fig. 29.** Ruins of the Saint Spirit Church; southern elevation with the side portal made of the Pińczów limestone, vertical elements of the window frames and buttress cornices carved also from the same material, the walls were built of the Szydłów limestone joined with clayey mortar

menty obramowań prostokątnych okien, a w ścianie południowej także ciosowy, prostokątny, renesansowy portal (ryc. 29). Prostokątny portal prowadzi też z nawy do zakrystii. Portale, obramienia okien oraz gzymsy na szkarpach wykonano z jasnego, drobnoziarnistego wapienia typu pińczowskiego.

Do frontowej ściany kościoła przylegał parterowy, dwuskrzydłowy budynek, rozdzielony korytarzem prowadzącym do świątyni. Budowla ucierpiała w wyniku pożarów w 1630 r. oraz w połowie XVIII w. i od tego czasu pozostaje w stanie ruiny (Łoziński, Wolf, 1957). Wprawdzie pełną rekonstrukcję kościoła i szpitala ujęto w powojennych planach odbudowy Szydłowa (Podlewski, 1959; Kołodziejcki, 2011), to nie została ona dotąd zrealizowana. Prace konserwatorskie, mające na celu zabezpieczenie kompleksu kościelno-szpitalnego jako trwałej ruiny, zostały zakończone na początku 2019 r. Do uzupełnienia użyto wapienia formacji z Chmielnika, wydobywanego obecnie w rejonie Smerdyny. Zastosowano także zaprawę glinianą z domieszką piasku.

#### Płyty i pomniki nagrobne

Na cmentarzu parafialnym przylegającym do ruin kościoła Świętego Ducha zachowały się zabytkowe nagrobki z XIX w. Jeden z nich, upamiętniający burmistrza Szydłowa z 1842 r., stanowi płyta wykonana z dewońskiego wapienia bolechowickiego, z licznymi amfiporami. Przykładem kunsztu kamieniarskiego jest rzeźba św. Krzysztofa z Dzieciątkiem Jezus, wymieniona już przez J. Wiśniewskiego w 1929 r., wykonana z wapienia pińczowskiego. W szydlowskim muzeum zostały zabezpieczone fragmenty macew ze zdewastowanego cmentarza żydowskiego w Szydłowie, wykonane z wapienia pińczowskiego.

#### PODSUMOWANIE

Analizowane przez autorów zabytkowe budowle Szydłowa wykonane z miejscowego wapienia organogeniczno-detrytycznego formacji z Chmielnika. Kamień ten pozyskiwano na przestrzeni dziejów z kamieniołomów zlokalizowanych na terenie miasta i w jego najbliższej okolicy. Zdaniem autorów nie ma podstaw, by przyjąć zastosowanie w budowlach średniowiecznych kamienia występującego na górze Kamionce, odległej o kilka kilometrów od miasta. Na podstawie przeprowadzonych obserwacji makroskopowych nie można jednoznacznie odpowiedzieć na pytanie, z jakiego kamienia zostały wykonane detale architektoniczne zabytkowych budowli Szydłowa, takie jak portale i obramowania okien. Czy jest to wapień pińczowski, jak sugerują autorzy zajmujący się kamieniarką Szydłowa, czy drobnoziarnista odmiana młodszego wapienia szydlowieckiego? Rozstrzygnięcie tego problemu wymagałoby mikroskopowych badań materiału skalnego.

Wysoka klasa detali architektonicznych wykonanych z surowca wapiennego świadczy o kunszcie kamieniarczy, a zarazem generuje kolejne pytanie: czy elementy te powstawały na miejscu w Szydłowie, czy może w postaci gotowej docierały tu z ośrodka pińczowskiego?

Kolejną nie do końca wyjaśnioną kwestią pozostaje źródło surowca użytego do zaprawy wapiennej. Czy do jego produkcji, poza wapieniami neogeńskimi, wykorzystywano także wapień środkowodeński z okolic Osówki Starej? Brak odpowiedzi na te pytania wskazuje potrzebę kontynuowania badań petroarcheologicznych w Szydłowie.

Autorzy składają podziękowania recenzentom – Profesorowi dr. hab. Januszowi Skoczylasowi i Doktorowi hab. Grzegorzowi Czapowskiemu, Profesorowi PIG-PIB – za cenne sugestie i uwagi.

#### LITERATURA

- ANDRZEJEWSKI A., KAJZER L. 2002 – Zamek w Szydłowie w świetle najnowszych badań terenowych. [W:] Antoniewicz M. (red.), Zamki i przestrzeń społeczna w Europie Środkowej i Wschodniej. Wyd. DiG, Warszawa: 391–409.
- BIELECKA M. 1967 – Trzeciorzęd południowo-zachodniej części Wyżyny Lubelskiej. Biul. Inst. Geol., 206: 115–188.
- BUGAJSKA-PAJĄK A. 1974 – Charakterystyka geologiczno-surowcowa utworów węglanowo-detrytycznych miocenu z południowego obrzeżenia Gór Świętokrzyskich ze szczególnym uwzględnieniem rejonu Smerdyny i Kikowa. Nar. Arch. Geol., Kielce.
- BUGAJSKA-PAJĄK A. 1986 – Inwentaryzacja surowców mineralnych i możliwości ich wykorzystania na potrzeby lokalne w gminie Szydłów w woj. kieleckim. Nar. Arch. Geol., PIG-PIB, Kielce.
- CHLEBOWSKI B. (red.) 1892 – Słownik geograficzny Królestwa polskiego i innych krajów słowiańskich, t. 12: 95–97, Wyd. Wieku, Warszawa, wersja cyfrowa <http://dir.icm.edu.pl/pl>
- CZAPOWSKI G. 1984 – Osady barierowe w górnym miocenie południowego obrzeżenia Gór Świętokrzyskich. Prz. Geol., 32: 1185–1914.
- CZAPOWSKI G. 2004 – Miocen. Otoczenie Gór Świętokrzyskich. [W:] Peryt T.M., Piwocki M. (red.), Budowa Geologiczna Polski, t. 1, Stratygrafia, cz. 3a Kenozoik, Paleogen, Neogen. Państw. Inst. Geol.: 233–245.
- CZAPOWSKI G., GAŚIEWICZ A. 2015 – Wykształcenie, stratygrafia i środowiska depozycji utworów pogranicza badenu i sarmatu z SW otoczenia Gór Świętokrzyskich (profile otworów badawczych w rejonie Kazimierza Wielka–Busko). Biul. Państw. Inst. Geol., 461: 9–52.
- CZAPOWSKI G., ROMANEK A. 1986 – Litostratygrafia i środowiska sedymentacji osadów górnego triasu w rejonie Chmielnika (południowe obrzeżenie mezozoiczne Gór Świętokrzyskich). Prz. Geol., 34 (11): 635–643.

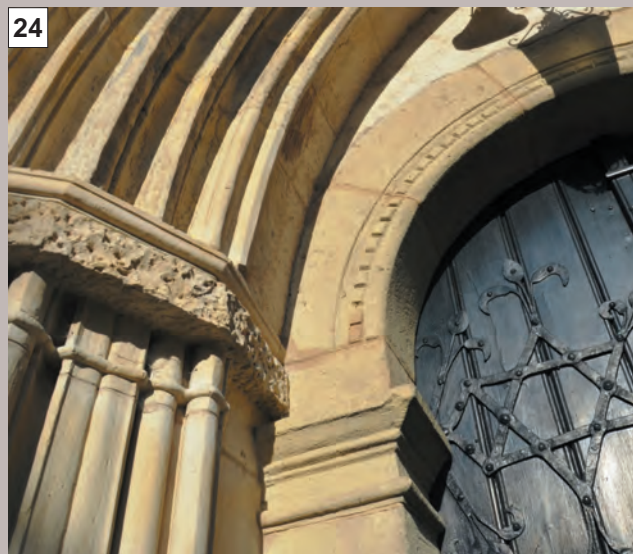


- CZAPOWSKI G., STUDENCKA B. 1990 – Studium sedymentologiczno paleontologiczne osadów barierowych dolnego sarmatu w rejonie Chmielnika (południowe obrzeżenie Gór Świętokrzyskich). *Prz. Geol.*, 38 (3): 117–127.
- CZAPOWSKI G., STUDENCKA B. 1996 – Regresywne utwory dolnego sarmatu rejonu Chmielnika. *Mat. Konf. V Krajowe Spotkanie Sedymentologów*, 17–21.06.1996 r., Warszawa.
- CZARNOCKI J. 1938 – Sprawozdanie z badań terenowych wykonanych w Górach Świętokrzyskich w 1938 r. *Pos. Nauk. Państw. Inst. Geol.*, 33: 73–78.
- CZARNOCKI J. 1950 (1961) – Region Świętokrzyski. Materiały do przeglądowej mapy geologicznej Polski; wydanie B aktualizowane. *ark. Pińczów i Staszów 1:100 000*.
- DLUGOSZ J. – *Roczniki czyli Kroniki Sławnego Królestwa Polskiego*, t. IV, Księga 7.; [www.zrodla.historyczne.prv.pl](http://www.zrodla.historyczne.prv.pl), 2004: 10.
- DREWNIAK A. 1994 – Coralline algae from the Pińczów limestone (Middle Miocene; southern slopes of the Holy Cross Mountains, Central Poland) as environmental indicators. *Acta Geol. Pol.*, 44 (1–2): 117–135.
- FIJAŁKOWSKA A., FIJAŁKOWSKA E. 1994 – Wykorzystanie surowców skalnych przy budowie średniowiecznych zamków w rejonie świętokrzyskim. [W:] *Materiały kon. Surowce kamienne regionu świętokrzyskiego. Tradycje, możliwości i perspektywy wykorzystania*. Kielce, 17–19 października 1994 r.: 77–85.
- FIJAŁKOWSKI J., ZARĘBSKI M.A. 1994 – Zamki, pałace i dworki ziemi staszowskiej. *Staszowskie Tow. Kulturalne, Staszów*: 82.
- FIJAŁKOWSKI J., ZARĘBSKI M.A. 1997 – Sekrety zamków i pałaców Ziemi Staszowskiej. *Staszowskie Tow. Kulturalne, Staszów*: 119.
- GĄGOL J. 2004 – Wapień pińczowski. 10 wieków w polskiej architekturze i rzeźbie. *Nowy Kamieniarz*, 9: 40–44.
- JASIONOWSKI M. 1995 – Budowa geologiczna zachodniej części zapadliska przedkarpackiego. *Biul. Państw. Inst. Geol.*, 371: 7–23.
- JURKOWSKI R. 2017 – Zamki świętokrzyskie. *Skarby – Legendy – Tajemnice*. Przewodnik. Wyd. CM i Rafał Jurkowski: 200.
- KAJZER L. 2001 – Zamek w Szydłowie w świetle badań terenowych w 1999 roku. *Kurier Ziemi Szydłowskiej*, 16: 8–9.
- KAJZER L. 2005 – Szydłów na tle problematyki zamków królewskich Sandomierszczyzny. [W:] *Późnośredniowieczne zamki na terenie dawnego województwa sandomierskiego. Regionalny Ośrodek Badań i Dokumentacji Zabytków w Kielcach*, Kielce: 41–64.
- KAJZER L. 2011 – Jeszcze kilka słów o Szydłowie. [W:] *Jastrzębski C. (red.), Szydłów przez stulecia. Monografia gminy Szydłów, Szydłów*: 241–252.
- KASIEWICZ M. 1869 – *Miasto Szydłów*, drzeworyt. Reprodukacja zamieszczona w czasopiśmie *Kłosa*, 1: 93.
- KOŁODZIEJSKI S. 2011 – Odbudowa miasta i konserwacja zabytków. [W:] *Jastrzębski C. (red.), Szydłów przez stulecia. Monografia gminy Szydłów, Szydłów*: 223–240.
- KONDRACKI J. 2009 – *Geografia regionalna Polski*. Wyd. Nauk. PWN, Warszawa.
- LESZCZYŃSKI S., NEMEC W. 2015 – Dynamic stratigraphy of composite peripheral unconformity in a foredeep basin. *Sedimentology*, 62 (3): 607–620.
- LISZKOWSKI J., MUCHOWSKI J. 1969 – Morfologia, budowa wewnętrzna oraz geneza masywów wapieni biogenicznych dolnego sarmatu strefy progów zewnętrznych południowej krawędzi Wyżyny Lubelskiej. *Biul. Geol. Wydz. Geol. UW*, 11: 5–36.
- ŁAPTAŚ A. 1992 – Giant-scale cross-bedded Miocene biocalcarenes in the northern margin of the Carpathian Foredeep. *Ann. Soc. Geol. Pol.*, 62: 149–167.
- ŁOZIŃSKI J.Z., WOLF B. (red.) 1957 – *Katalog Zabytków Sztuki w Polsce*, t. 3. Województwo Kieleckie, z. 1. Powiat Buski. *Państw. Inst. Sztuki, Warszawa*: 72–81.
- ŁUCZKOWSKA E. 1964 – Stratygrafia mikropaleontologiczna miocenu w rejonie Tarnobrzeg–Chmielnik. *Pr. Geol. Kom. Nauk. Geol. PAN Oddz. w Krakowie*, 20: 56.
- MASTERNAK Z. 1977 – Surowce mineralne gminy Szydłów. *Arch. UW Kielce*.
- MASZCZYŃSKI T. 1967 – Szydłów. *Muzeum Świēt.*, Kielce: 1–119.
- MYCZKOWSKI Z. 2006 – Szydłów – niezwykły krajobraz warowny w skali Europy. *Wiad. Konserwat.*, 19: 38–44.
- NOWAK W.A. 1986 – Fizycznogeograficzne regionalizacje Niecki Nidziańskiej. *Studia Ośr. Dok. Fizjograf.*, 14: 23–33.
- ODRZYWOLSKA-BIENKOWA E. 1975 – O metodyce badań mikropaleontologicznych zastosowanej przy identyfikacji próbek pochodzących z zabytków i złóż Ziemi Wiślickiej. *Prz. Geol.*, 23: 13–17.
- OLSZACKI T., OLEJNIK J., SERAFIN J. 2012 – Pałac królewski w Szydłowie (tzw. Sala Rycerska): budowa niedorzeczna czy nierozumiana? *Zesz. Sandomierskie*, 18 (33): 31–39.
- OTERMAN S. 1980 – Stare i nowe dzieje eksploatacji i obróbki wapieni pińczowskich oraz marmurów kieleckich. *Pińczowskie Zakł. Kam. Bud.*: 111.
- PAWŁOWSKA K. 1965 – Syntetyczny opis litostratygraficzny osadów miocenu na obszarze między Chmielnikiem i Tarnobrzegiem. [W:] *Pawłowski S. (red.), Przewodnik 38. Zjazdu PTG, Tarnobrzeg*, 21–24 sierpnia 1965. *Wyd. Geol.*, Warszawa: 21–39.
- PAWŁOWSKI S. 1965a – Zarys budowy geologicznej okolic Chmielnika–Tarnobrzega. *Prz. Geol.*, 13: 238–245.
- PAWŁOWSKI S. 1965b – Zarys budowy geologicznej okolic Chmielnika–Tarnobrzega. [W:] *Pawłowski S. (red.), Przewodnik 38. Zjazdu PTG, Tarnobrzeg*, 21–24 sierpnia 1965 r. *Wyd. Geol.*, Warszawa: 8–20.
- PODLEWSKI W. 1959 – Odbudowa Szydłowa. *Ochrona Zabytków*, 12/1 (44): 1–29.
- RADWAŃSKI A. 1969 – Transgresja dolnego tortonu na południowych stokach Gór Świętokrzyskich (strefa zatok i przedpola). *Acta Geol. Pol.*, 19 (1): 164.
- RADWAŃSKI A. 1973 – Transgresja dolnego tortonu na południowych stokach Gór Świętokrzyskich (strefa zatok i przedpola). *Acta Geol. Pol.*, 1: 160.
- ROMANEK A. 1979 – Szczegółowa Mapa Geologiczna Polski 1:50 000, ark. Chmielnik (885). *Wyd. Geol.*, Warszawa.
- ROMANEK A. 1982 – Objasnienia do Szczegółowej Mapy Geologicznej Polski 1:50 000, ark. Chmielnik (885). *Wyd. Geol.*, Warszawa: 84.
- ROMANEK A. 2015a – Karta Dokumentacyjna Geostanowiska *Dziurawy profil w Osówce Starej koło Szydłowa*. Centralny Rejestr Geostanowisk Polski, baza danych Państw. Inst. Geol. – PIB.
- ROMANEK A. 2015b – Karta Dokumentacyjna Geostanowiska *Skaly czwartorzędowe w wąwozie Ciekącej w Szydłowie–Dolach*. Centralny Rejestr Geostanowisk Polski, baza danych Państw. Inst. Geol. – PIB.
- ROMANEK A. 2015c – Karta Dokumentacyjna Geostanowiska *Wysokoenergetyczne osady ze schyłku miocenu w Szydłowie na Cabanówce*. Centralny Rejestr Geostanowisk Polski, baza danych Państw. Inst. Geol. – PIB.
- ROMANEK A. 2015d – Karta Dokumentacyjna Geostanowiska *Rafy serpulowo-siniczne w Szydłowie na Cabanówce*. Centralny Rejestr Geostanowisk Polski, baza danych Państw. Inst. Geol. – PIB.
- ROMANEK A. 2015e – Karta Dokumentacyjna Geostanowiska *Lom pod kościołem Wszystkich Świētych, Szydłów*. Centralny Rejestr Geostanowisk Polski, baza danych Państw. Inst. Geol. – PIB.
- RONIEWICZ P., WYSOCKA A. 2001 – Uwagi o miocenijskiej sedymentacji pomiędzy Szydłowem a Smerdyną, południowo-wschodnie obrzeżenie Gór Świętokrzyskich. *Prz. Geol.*, 49: 639–643.
- RUTKOWSKI J. 1976 – Detrytyczne osady sarmatu na południowym obrzeżeniu Gór Świętokrzyskich. *Pr. Geol. Komis. Nauk. Geol. PAN Krak.*, 100: 1–77.
- RYDZEWSKI A. 1975 – Mikrofacjalne badania petrograficzne dolnotortonńskich wapieni litotamniowych pasma wojnowsko-pińczowskiego. *Prz. Geol.*, 23: 8–12.
- STACHACZ M. 2007 – Uwagi o wieku osadów miocenu środkowego okolic Szydłowa. *Prz. Geol.*, 55: 168–174.
- STRONCZYŃSKI K. 1850 – Widoki zabytków starożytności w Królestwie Polskim służące do objaśnienia opisu tychże starożytności, sporządzonego przez Delegację wysłaną z polecenia Rady Administracyjnej Królestwa w latach 1844 i 1846 zebrane. *Atlas I, II, Gubernia radomska*. oprac. K. Guttmejer, Warszawa 2010.
- STUDENCKI W. 1988 – Facies and sedimentary environment of the Pińczów limestones (Middle Miocene; Holy Cross Mountains, Central Poland). *Facies*, 18: 1–26.
- STUDENCKI W. 1999 – Red-algal limestones in the Middle Miocene of the Carpathian Foredeep in Poland: facies variability and palaeoclimatic implications. *Kwart. Geol.*, 43: 395–404.
- SZYDŁOWSKI T. 1927 – Szydłów, miasteczko średniowieczne. *Ziemia*, 12: 2–5.
- SZYDŁOWSKI T. 1930 – Badania i odkrycia w zakresie historii sztuki na terenie sandomiersko-kieleckim (w latach ostatnich). *Pamiętnik Świętokrzyski*, 1930: 158–166.
- URZĄD GMINY SZYDŁÓW 2018 – Szydłów i okolica. Mapa obszaru rewitalizacji gminy Szydłów. *Wyd. Urząd Gminy Szydłów*.
- WALCZOWSKI A. 1960 – Szczegółowa Mapa Geologiczna Polski 1:50 000, ark. Staszów. *Wyd. Geol.*, Warszawa.
- WALCZOWSKI A. 1968 – Objasnienia do Szczegółowej Mapy Geologicznej Polski 1:50 000, ark. Staszów. *Wyd. Geol.*, Warszawa: 90.
- WALENDOWSKI H. 2008 – Wapień pińczowski. *Nowy Kamieniarz*, 31: 56.
- WEBER-KOZIŃSKA M. 1958 – Z problematyki historii kamieniarstwa w Polsce. *Kwart. Archit. Urban*, 3: 61–84.
- WEBER-KOZIŃSKA M. 1963 – Wczesnośredniowieczne ośrodki górnicze w Skowronnie, Pińczowie, Welczu i Kikowie. *Spraw. Pos. Komisji PAN Oddz. w Krakowie*, styczeń–czerwiec 1963: 5–6.
- WIDAWSKI J. 1973 – Miejskie mury obronne w państwie polskim do początku XV wieku. *Wyd. Min. Obrony Narodowej*: 445–455.
- WIŚNIEWSKI J. 1929 – Historyczny opis kościołów, miast, zabytków i pamiątek w Stopnickiem. *Marjówka*: 294.
- [www.szydlow.pl/historia](http://www.szydlow.pl/historia)
- [www.szydlow.pl/turystyczny-plan-szydlowa](http://www.szydlow.pl/turystyczny-plan-szydlowa)
- [www.zamkipolskie.com/szydlow/szydlow.html](http://www.zamkipolskie.com/szydlow/szydlow.html)
- ŻUKOWSKI J. 1947 – Problemy zabytkowe Szydłowa. *Pamiętnik Kielecki. Przeszość kulturalna regionu*, cz. 1: 199–215, Kielce.
- ŻUKOWSKI J. 1948 – Fara w Szydłowie. *Biul. Hist. Sztuki*, 1: 23–39.



## Kamień w zabytkowej architekturze Szydłowa (patrz str. 736)

Stone in the historic architecture of Szydłów (see page 736)



**Ryc. 23.** Kolumna i żebrowania ze zwornikami w nawie głównej kościoła pod wezwaniem Świętego Władysława w Szydłowie, wykonane z wapienia pińczowskiego

**Fig. 23.** Column and ribs with keystones in the central nave of the St. Władysław Church in Szydłów, made of the Pińczów limestone

**Ryc. 24.** Detale architektoniczne głównego portalu kościoła pod wezwaniem Świętego Władysława, wykonane z wapienia pińczowskiego; górna część portalu zachowana w formie oryginalnej, dolna zrekonstruowana w 1947 r.

**Fig. 24.** Architectonic details of the main portal in the St. Władysław Church, made of the Pińczów limestone; the upper part of the portal is preserved in its original form, the lower part was reconstructed in 1947

**Ryc. 25.** Renesansowy portal (1630 r.) kościoła, prowadzący z prezbiterium do zakrystii, wyrzeźbiony z wapienia pińczowskiego

**Fig. 25.** Renaissance portal (1630) of the church, leading from the presbytery to the sacristy, carved from the Pińczów limestone

**Ryc. 26.** Pionowe laski i dekoracyjne głowice oryginalnego, bliźniaczego portalu bocznego, odrestaurowanego w południowej elewacji kościoła

**Fig. 26.** Vertical graces and decorative heads of the original, twin side portal, renovated in the southern church elevation

**Ryc. 27.** Barokowa figura św. Barbary przed kościołem św. Władysława, wykonana z wapienia pińczowskiego. Wszystkie fot. A. Mader

**Fig. 27.** Saint Barbara baroque sculpture in front of the St. Władysław Church, made of the Pińczów limestone. All photos by A. Mader